

©1995 г.

ПРОЦЕССЫ ОБРАЗОВАНИЯ И ОТЖИГА РАДИАЦИОННЫХ ДЕФЕКТОВ В $p\text{-Si}\langle\text{P,Pt}\rangle$

М.С.Юнусов, А.Ахмадалиев, С.С.Сабиров

Институт ядерной физики Академии наук Узбекистана,
702132, Ташкент, Узбекистан

(Получена 4 мая 1994 г. Принята 3 октября 1994 г.)

Приведены результаты исследования процессов образования и отжига радиационных дефектов, введенных при облучении быстрыми нейтронами атомного реактора в $p\text{-Si}\langle\text{P,Pt}\rangle$. Показано, что при радиационно-термическом воздействии в $p\text{-Si}\langle\text{P,Pt}\rangle$ формируются ранее не наблюдавшиеся центры, обусловленные присутствием платины.

Выполненные нами [1] и другими авторами [2–6] исследования показывают, что при легировании кремния платиной происходит компенсация проводимости как в n -, так и в p -материале. При этом в зависимости от соотношения концентрации донорных (N_d) и акцепторных (N_a) центров и легирующей платины (N_{Pt}) можно получать частично ($N_a > N_{\text{Pt}}$ или $N_d > N_{\text{Pt}}$) или полностью ($N_a \simeq N_{\text{Pt}}$ или $N_d \simeq N_{\text{Pt}}$) компенсированный и даже перекомпенсированный из n - в p -тип ($N_d < N_{\text{Pt}}$ при $N_d < 10^{16} \text{ см}^{-3}$) материал.

В данной работе исследовались радиационные процессы в образцах $p\text{-Si}\langle\text{P,Pt}\rangle$, в которых исходная концентрация мелких доноров составляла $8 \cdot 10^{14} \text{ см}^{-3}$ (КЭФ-5) и $4 \cdot 10^{14} \text{ см}^{-3}$ (КЭФ-10). Образцы облучали в горизонтальном канале реактора ВВР-СМ с интенсивностью быстрых нейтронов ($E_n \geq 0.1 \text{ МэВ}$) $(2 \div 3) \cdot 10^{10} \text{ см}^{-2} \cdot \text{s}^{-1}$ при температуре $\sim 40^\circ\text{C}$.

Диффузия платины в $n\text{-Si}$ проводилась методом термодиффузии в температурном интервале $1200 \div 1300^\circ\text{C}$ последующим быстрым охлаждением. При этом во всех исследуемых образцах происходила конверсия проводимости из n - в p -тип. Удельное сопротивление конвертированных в $p\text{-Si}\langle\text{P,Pt}\rangle$ образцов лежало в пределах $700 \div 1000 \Omega \cdot \text{см}$, концентрация дырок составляла $(2 \div 3) \cdot 10^{13} \text{ см}^{-3}$.

Следует отметить, что подвижность дырок в образцах $p\text{-Si}\langle\text{P,Pt}\rangle$ составляла $\sim 250 \text{ см}^2 / (\text{В} \cdot \text{с})$, т.е. была почти в 2 раза меньше, чем в обычном $p\text{-Si}$. Это свидетельствует о большой концентрации рассеивающих центров в $p\text{-Si}\langle\text{P,Pt}\rangle$.

Исследована зависимость относительного изменения концентрации дырок в $p\text{-Si}(P,\text{Pt})$ и $p\text{-Si}$ от флюенса быстрых нейтронов. Установлено, что в образцах $p\text{-Si}(P,\text{Pt})$ изменением концентрации дырок наблюдается лишь начиная с флюенса быстрых нейтронов $\geq 2 \cdot 10^{14} \text{ см}^{-2}$, тогда как в обычном $p\text{-Si}$ при концентрациях дырок $\sim 5 \cdot 10^{13} \text{ см}^{-3}$ заметное изменение концентрации наблюдается при флюенсах быстрых нейтронов $\sim 10^{13} \text{ см}^{-2}$ [7].

Получено следующее полуэмпирическое выражение, удовлетворительно описывающее закономерности изменения концентрации дырок от флюенса быстрых нейтронов в $p\text{-Si}(P,\text{Pt})$, когда уровень Ферми находится вблизи $E_v + 0.34 \text{ эВ}$:

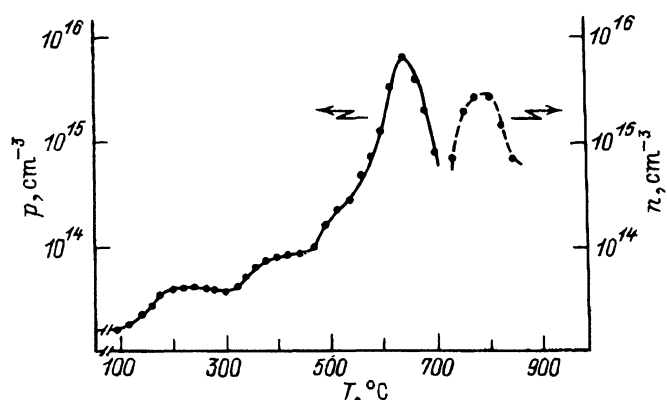
$$p = p_0 \exp(-4.67 \cdot 10^{-16} \cdot \Phi_n),$$

где p_0 и p — концентрации дырок до и после облучения, см^{-3} ; Φ_n — флюэнс быстрых нейтронов, см^{-2} .

Из вышеизложенных результатов исследований вытекает, что у $p\text{-Si}(P,\text{Pt})$ при облучении быстрыми нейтронами отмечается высокая стабильность концентрации носителей к воздействию радиации.

Исследовалась кинетика отжига радиационных дефектов в интервале температур $20\div 870^\circ\text{C}$ в $p\text{-Si}(P,\text{Pt})$ и в контрольном $p\text{-Si}$ после облучения быстрыми нейтронами флюенсом $\sim 10^{15} \text{ см}^{-2}$. Время отжига при каждой температуре составляло 20 мин. Установлено, что в контрольном $p\text{-Si}$ отжиг радиационных дефектов, как и в литературе, происходит в основном в две стадии [8,9].

Отжиг радиационных дефектов в $p\text{-Si}(P,\text{Pt})$ носит сложный характер. При этом первые две стадии ($100\div 200^\circ\text{C}$ — первая стадия и $300\div 380^\circ\text{C}$ — вторая стадия) отжига совпадают со стадиями, наблюдаемыми в контрольных образцах $p\text{-Si}$. Видимо в этих стадиях отжига происходит распад известных стандартных радиационных дефектов [7-9]. При этом в образцах $p\text{-Si}(P,\text{Pt})$ наблюдается небольшой рост концентрации дырок (см. рисунок).



Зависимости изменения концентрации дырок в нейтронно-облученном ($\Phi_n \approx 10^{15}$ нейtron/ см^2) $p\text{-Si}(P,\text{Pt})$ от температуры отжига при изохронном отжиге.

Как видно из рисунка, следующая стадия отжига в $p\text{-Si}\langle\text{P,Pt}\rangle$ наблюдается в интервале температур $460 \div 530^\circ\text{C}$. На этой стадии, по всей вероятности, происходит частичный распад одних и образование других центров платины, так как в этом интервале температур наблюдается также рост концентрации дырок. Этот рост концентрации дырок в $p\text{-Si}\langle\text{P,Pt}\rangle$ говорит о том, что здесь происходит образование только мелких акцепторных центров, которые увеличивают концентрации дырок и связаны с наличием Pt в образце. При этом во всех образцах $p\text{-Si}\langle\text{P,Pt}\rangle$ после отжига при $\sim 530^\circ\text{C}$ уровень Ферми располагается вблизи $E_v + 0.30\text{ эВ}$.

Следующая стадия отжига наблюдается в интервале температур $550 \div 640^\circ\text{C}$ и сопровождается интенсивным ростом концентрации дырок. При этом концентрация дырок в образцах $p\text{-Si}\langle\text{P,Pt}\rangle$ доходит до значения $\sim 7 \cdot 10^{15} \text{ см}^{-3}$, а удельное сопротивление снижается до $\sim 4.0 \text{ Ом}\cdot\text{см}$. Причем при охлаждении образцов до температур $T \leq 100 \text{ К}$ концентрация дырок полностью истощается. Такая ситуация может иметь место только при наличии электрически активных акцепторных центров с энергией ионизации много меньшей чем $E_v + 0.19\text{ эВ}$ [5,6]. Сообщений об акцепторном уровне платины в Si мельче чем $E_v + 0.19\text{ эВ}$ в литературе не встречается. Измерение температурной зависимости коэффициента Холла показало наличие двух уровней с энергиями ионизации $E_1 = E_v + 0.13\text{ эВ}$ и $E_2 = E_v + 0.27\text{ эВ}$. Причем концентрация центра E_1 равна $\sim 7 \cdot 10^{15} \text{ см}^{-3}$.

На следующей стадии отжига в интервале температур $660 \div 740^\circ\text{C}$ наблюдается резкое падение концентрации дырок. При этой температуре, видимо, происходит распад акцепторного центра платины $E_v + 0.09 \div 0.10\text{ эВ}$, ответственного за наблюданную концентрацию дырок. При температурах $\leq 40^\circ\text{C}$ наблюдается обратная конверсия типа проводимости $p\text{-}n\text{-Si}\langle\text{P,Pt}\rangle$, т.е. восстанавливается исходный тип проводимости.

Дальнейший рост температуры отжига в интервале $740 \div 800^\circ\text{C}$ приводит к увеличению концентрации электронов в $p\text{-Si}\langle\text{P,Pt}\rangle$ до значений $\sim 3 \cdot 10^{15} \text{ см}^{-3}$; исходные концентрации электронов в этих материалах были $\sim (4 \div 8) \cdot 10^{14} \text{ см}^{-3}$ (КЭФ-5 и КЭФ-10). В данном случае после отжига при 800°C их концентрации оказались равными $3.0 \cdot 10^{15} \text{ см}^{-3}$, а удельное сопротивление — $\sim 2.0 \text{ Ом}\cdot\text{см}$. Подвижность носителей при этом составляла $980 \div 1000 \text{ см}^2/(\text{В}\cdot\text{с})$. Относительно низкое значение подвижности электронов обусловлено наличием рассеивающих примесных центров платины в $p\text{-Si}\langle\text{P,Pt}\rangle$. Эти данные свидетельствуют о том, что в $p\text{-}n\text{-Si}\langle\text{P,Pt}\rangle$ при дополнительной термообработке при температурах отжига $\sim 800^\circ\text{C}$ формируются центры с участием платины и продуктов распада радиационных центров с более мелким энергетическим уровнем, имеющим донорный характер и обуславливающим появление дополнительной концентрации электронов $\leq 2 \cdot 10^{15} \text{ см}^{-3}$.

По нашим измерениям, энергия ионизации этого донорного центра равна $E_c - 0.1\text{ эВ}$, а концентрация $\sim 2 \cdot 10^{15} \text{ см}^{-3}$.

Отжиг в температурном интервале $800 \div 850^\circ\text{C}$ приводит к полному распаду всех центров платины и к полному восстановлению концентрации электронов до исходного значения. При этом подвижность носителей остается равной $\sim 1000 \text{ см}^2/(\text{В}\cdot\text{с})$.

Дальнейший отжиг при температурах выше 850 °С приводит к медленному монотонному снижению концентрации электронов, т.е. начинается обратная активация электрически неактивных центров платины в электрически активные и происходит компенсация проводимости.

В результате изложенного следует, что платина в $p\text{-Si(P,Pt)}$ ведет себя сложным образом, особенно после облучения быстрыми нейтронами. Особенности поведения облученного нейтронами $p\text{-Si(P,Pt)}$ при температурном отжиге свидетельствуют о том, что атомы платины чрезвычайно активно взаимодействуют с продуктами распада нейтронно-наведенных радиационных дефектов. Сильной активации таких реакций способствует и высокая температура, при которой происходит распад таких дефектов.

Список литературы

- [1] И.С. Юнусов и др. *Физические свойства облученного кремния* (Ташкент, Фан, 1987).
- [2] А.А. Лебедев, Н.А. Соболев, Б.М. Урунбаев. ФТП, **15**, 1519 (1981).
- [3] С.А. Азимов, Л.И. Исламов, Н.А. Султанов. ФТП, **8**, 1169 (1974).
- [4] Y.K. Kwon, T. Ishikawa, H. Kuwano. J. Appl. Phys., **61**, 1055 (1987).
- [5] A.O. Evvarayev, E. Sun. J. Appl. Phys., **47**, 3172 (1976).
- [6] Ю.А. Зибуц, Л.Г. Парицкий, С.М. Рывкин, Ж.Г. Дохолян. ФТТ, **8**, 2549 (1966).
- [7] Ф.П. Коршунов, Г.В. Гатальский, Г.М. Иванов. *Радиационные эффекты в полупроводниковых приборах* (Минск, Наука и техника, 1978).
- [8] Вопросы радиационной технологии полупроводников, под ред. Л.С. Смиронова (Новосибирск, Наука, 1980).
- [9] В.В. Емцев, Т.В. Машовец. *Примеси и точечные дефекты в полупроводниках* (М., Радио и связь, 1981).

Редактор В.В. Чалдышев

The formation and annealing of radiation-induced defects in
 $p\text{-Si(P,Pt)}$

M.S. Yunusov, A.Akhmadaliev, S.S.Sabirov

Institute for Nuclear Physics, Uzbekistan Academy of Sciences, 702132 Ulugbek,
Uzbekistan